

دراسة بعض الخواص التركيبية والكهربائية الانتقالية للأغشية الرقيقة من سيليnid الرصاص

فرج الحازمي، وفاطمة باهبري^١، ورقية العريني^١، و مها العطاس^١

كلية العلوم، قسم الفيزياء، جامعة الملك عبدالعزيز^١

كلية العلوم للبنات، قسم الفيزياء، جامعة الملك عبدالعزيز

المستخلص: تمت دراسة التركيب البلوري للمركب الثنائي سيليnid الرصاص PbSe ، في حالته كمسحوق Powder وكأغشية رقيقة Thin Films والتي تم تحضيرها بتقنية التبخير الحراري المعتمد في جو مفرغ ١٠٠ تور، باستخدام مبخر من الموليبدنيوم وعلى حاملات نظيفة، ومستوية من الزجاج، حيث تم دراسة البنية التركيبية لها باستخدام تقنية حيود الأشعة السينية عن سطوح هذه الأغشية الرقيقة. وقد أظهرت نماذج هدب الحبيبات بالأشعة السينية للمسحوق أنه يتبلور بنظام مكعبى Cubic system. وثبتت شبكة بلورية: $a = 6.1223 \text{ \AA}$ ، وفي حالة العينات على هيئة أغشية رقيقة، فقد وجد أنها تكون أيضًا في حالة بلوريه بعد تحضيرها (قبل التلدين)، ولكن تزداد حالتها البلورية بعد تلدينهَا تحت تفريغ ١٠٠ تور، عند درجة حرارة ٤٧٣، ٣٧٣ كلفن، ولمدة ساعتين وأن لها تركيب بلوري من النظام المكعب Cubic، وثبتت الشبكة البلوريه لها $a = 6.1223 \text{ \AA}$ وتم أيضًا قياس

المقاومة النوعية الكهربائية μ للأغشية الرقيقة من هذا المركب، والمرتبة على حامل زجاجية في حالة الإظلام، وأيضاً في درجة حرارة للعينات تتراوح من درجة حرارة الغرفة وحتى ٤٩٣ كلفن، وقد وجد اعتماد المقاومة النوعية الكهربائية لهذه الأغشية الرقيقة على سمك العينات، وعلى درجة حرارة المعالجة الحرارية لهذه العينات حيث تتناقص المقاومة النوعية الكهربائية مع زيادة السمك للأغشية الرقيقة من هذا المركب، وذلك بسبب تزايد الحجم الحبيبي للبلورات مع زيادة السمك، أما بالنسبة لعلاقة المقاومة النوعية الكهربائية بدرجات الحرارة، فقد أوضحت العينات سلوكاً يوضح سلوك أشباه الموصلات العادي. ومن العلاقة بين المقاومة النوعية الكهربائية μ ، ودرجات الحرارة T ، أوضحت النتائج سلوكاً شبّه الموصل بطاقي تشيشيط حراريتين، الأولى $\Delta E_2 = 0.058 \text{ eV}$ وتمثل سلوك شبّه موصل غير ذاتي، أما طاقة التشيشيط الثانية فإنها تمثل سلوكاً شبّه موصل ذاتي وهي تساوي $\Delta E_1 = 0.141 \text{ eV}$ ، ومن هذه القيم تم استنتاج قيمة فجوة الطاقة $E_g = 0.28 \text{ eV}$.

المقدمة

تعتبر المركبات من النظام الثنائي من المجموعتين الثانية و السادسة (II-VI)، وكذلك المجموعتين الرابعة والسادسة (IV-VI) من أشباه الموصلات الواعدة في مجال صناعة الوصلات الثنائية (الدايودات)، والخلايا الشمسية، كما تستخدم كمولادات للطاقة الكهروحرارية، كذلك كمحولات للطاقة، وكأقطاب للتوصيلات الكهربائية، وفي التطبيقات الضوئية الحرارية، والضوئية الكهربائية، وفي التطبيقات الإلكترونية. وتمت دراسات عديدة للخصائص الحرارية، والكهربائية، والضوئية على مركبات الرصاص الشلكوجينية لقدرتها على امتصاص الإشعاعات الكهرومغنتيسية^[٦-١]. تم قياس ثابت الشببكة لبلورات أحادية من مركب سلينيد

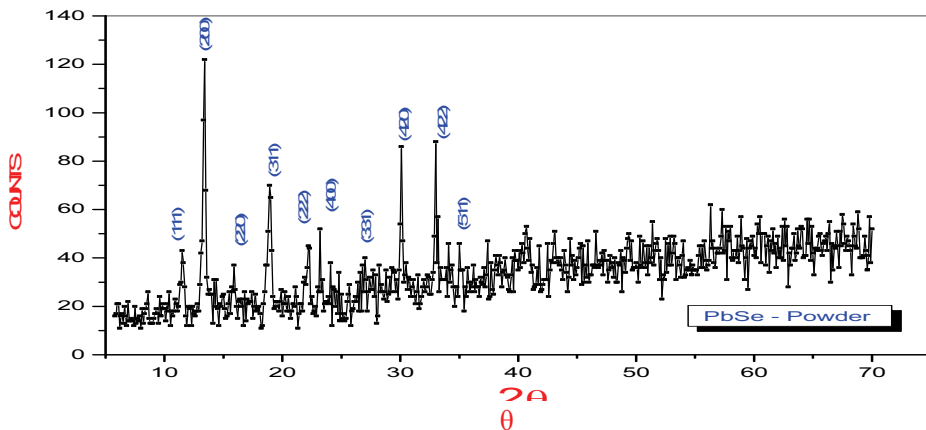
الرصاص PbSe بالقيمة^[٧]: $6.1265 \pm 0.0003 \text{ \AA} = a$. وقد حضرت الأغشية الرقيقة مختلفة السمك من مركب سيليسيد الرصاص PbSe على حاملات substrate أمرافية "زجاجية" وتم ترسيبها في جو مفرغ، و كذلك على حاملات مصقوله من معدن صلب، عند درجة حرارة الغرفة. ودرس التركيب البلوري لها بواسطة حيود الالكترونات^[٨]. ومن الجدير بالذكر أن مركب سيليسيد الرصاص PbSe شبه موصل ذو فجوة طاقة صغيرة يحضر في صورة بلورية كأغشية رقيقة بتقنية إنمائها بالترسيب الكيميائي^[٩-١٢]. وكما درست الموصليات الكهربائية للأغشية الرقيقة المحضرة بالتبخير الحراري Thermal Evaporation في جو مفرغ. حيث تم القياس للعينات في وجود الهواء وأيضاً عند تفريغ الهواء، ووجد أن المقاومة النوعية الكهربائية في وجود الهواء، تزداد بحوالي مابين ضعفين إلى ثلاثة أضعاف عنها في حالة تفريغ الهواء (كما حضرت) وأن سلوك المقاومة النوعية الكهربائية مع درجة الحرارة للأغشية الرقيقة يكون مختلفاً في وجود الهواء عنه عند تفريغ الهواء. وهذا الاختلاف يعود إلى امتزاز جزيئات هواء (وغالباً الأكسجين)، والذي بدوره يؤدي إلى نشوء العيوب "الانحلالات" عند درجات الحرارة المرتفعة خلال عملية التسخين، مما يؤثر على الموصليات الكهربائية للأغشية الرقيقة في عدم وجود الهواء والتي تعتمد على سمك العينات، بينما في وجود الهواء فإنها لا تعتمد على سمك العينات^[١٢]. كما اهتمت دراسات عديدة بمركبات الرصاص الشلكوجينية مثل: كبريتيد الرصاص PbS وتلويريد الرصاص PbTe وسيليسيد الرصاص PbSe وسبائكها. لأهميتها التكنولوجية والتطبيقية المتعددة مثل كواشف للأشعة تحت الحمراء، ودايموندات الانبعاث الضوئي والمجسات البيولوجية^[١٤-١٩]. وحضرت الأغشية الرقيقة من مركب PbSe والتي لها سمك يتراوح من 20 إلى 170 نانومتر، على حامل من الزجاج عند درجة حرارة الغرفة بواسطة طريقة التبخير الحراري عند ضغط $10 \times 5 \text{~}^{-5} \text{~تور}$ ^[٢٠]. وتمت دراسة

البلورات النانوية من المركبين سيليnid الرصاص، PbS، وكبريتيد الرصاص، وحساب ثابت الشبكة لخلية الوحدة، ووجد أنها من فصيلة المكعب Cubic لمركب سيليnid الرصاص، وكذلك قمم الحيود المصاحبة للتحليل بحيود الأشعة السينية، واتضح منها أن الاتجاهات المفضلة للإنماء لهذا المركب^[٢١] هي: (١١١)، و (٢٠٠)، و (٣١١)، و (٢٢٢).

القياسات المعملية والحسابية

تحضير دراسة الخصائص الفيزيائية لأغشية رقيقة من سيليnid الرصاص PbSe، تبدأ بتحضير الأغشية الرقيقة من سيليnid الرصاص PbSe على حاملات زجاجية، بتقنية التبخير الحراري المعتمد في جو مفرغ Conventionl Thermal Evaporation، ولدراسة البنية البلورية لسيليnid الرصاص PbSe في صورته كمسحوق، وأغشية رقيقة، واستخدم في هذه الدراسة تقنية حيود الأشعة السينية XRD واتضح أن أشكال الحيود للأشعة السينية المنعكسة عن الأغشية الرقيقة من PbSe قبل تلدينها تكون في الحالة البلورية. وتحتفظ بهذه الحالة البلورية بالتلدين عند درجة حرارة ٦٧٣ كلفن، وقد أظهرت دراسات حيود الأشعة السينية عن الأغشية الرقيقة من PbSe، تطابقاً ملحوظاً بالمقارنة مع الكارت القياسي (١٩٠٣-٧٨)، والذي يتضح منه أن خلية الوحدة لهذا المركب لها تركيب بلوري من النوع المكعبى Cubic ويثبت شبيكة بلورية $a = 6.1213 \text{ \AA}$ ، وتم أولاً دراسة حيود الأشعة السينية عن مسحوق سيليnid الرصاص PbSe، حيث يوضح شكل ١ نماذج حيود الأشعة السينية عن مسحوق سيليnid الرصاص PbSe، ويتبين أنه متعدد التبلور polycrystalline، ومن تحليل هذه النتائج عن طريق حساب قيم d_{hkl} لكل قمة حيود، وأيضاً شدتتها النسبية، ثم مقارنة النتائج مع نتائج الكارت القياسي (١٩٠٣-٧٨) وقد تم استنتاج أن المادة في حالتها الحجمية تمثل طوراً وحيداً لسيلينيد الرصاص متعدد التبلور،

في نظام بلوري مكعب وثابت شبكة بلورية $\text{A} = 6.1223 \text{ \AA}$. ونتائج هذا التحليل للمسحوق مدونة بالجدول (١).



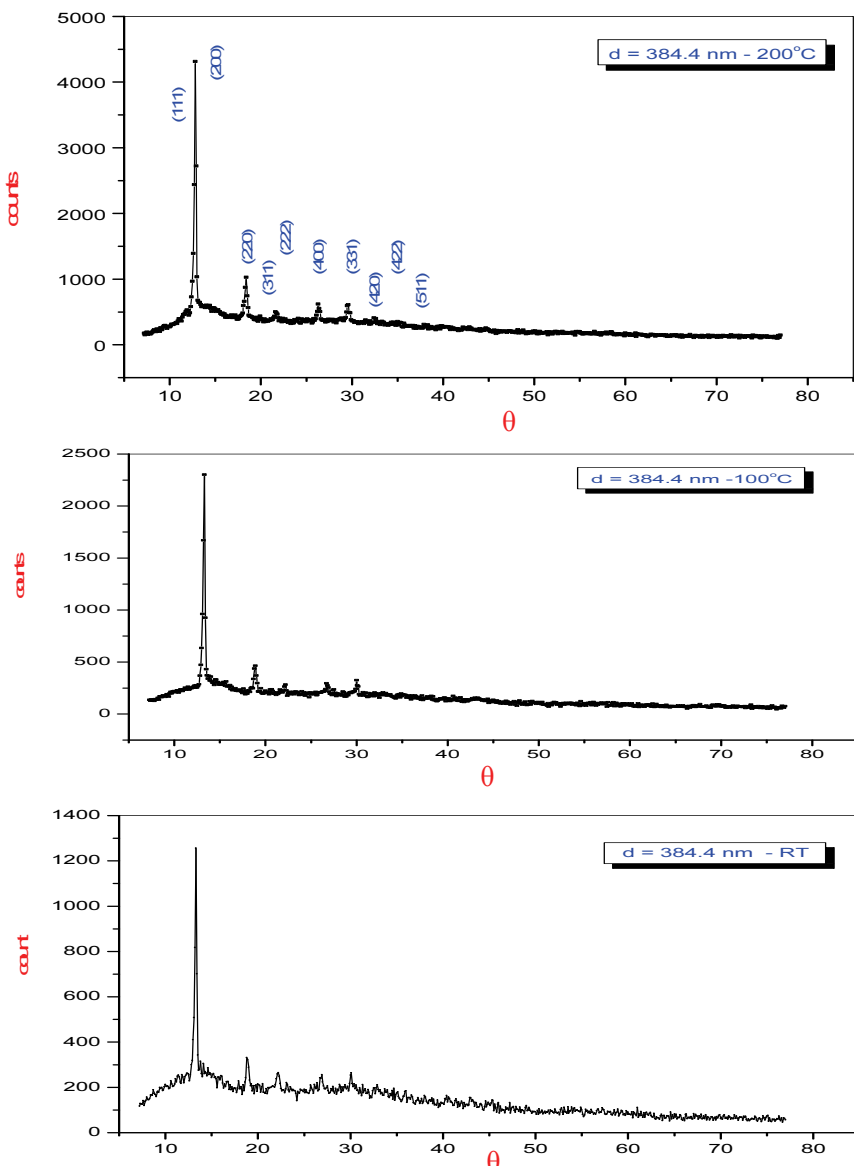
شكل ١. قم حيود الأشعة السينية لمركب سيليسيوم الرصاص في صورته كمسحوق.

جدول ١. قم حيود الأشعة السينية لمركب سيليسيوم الرصاص في صورته كمسحوق.

المسحوق		الكارت القياسي رقم 1903-78		
$d_{hkl}(\text{\AA})$	I/I_0	$d_{hkl}(\text{\AA})$	Int	(hkl)
3.547	43	3.536	368	(111)
3.068	100	3.061	999	(200)
2.164	70	2.164	663	(220)
1.852	45	1.846	145	(311)
1.767	52	1.767	208	(222)
1.530	40	1.530	86	(400)
1.404	54	1.404	49	(331)
1.368	86	1.368	211	(420)
1.249	88	1.249	141	(422)
1.178	46	1.178	30	(511)

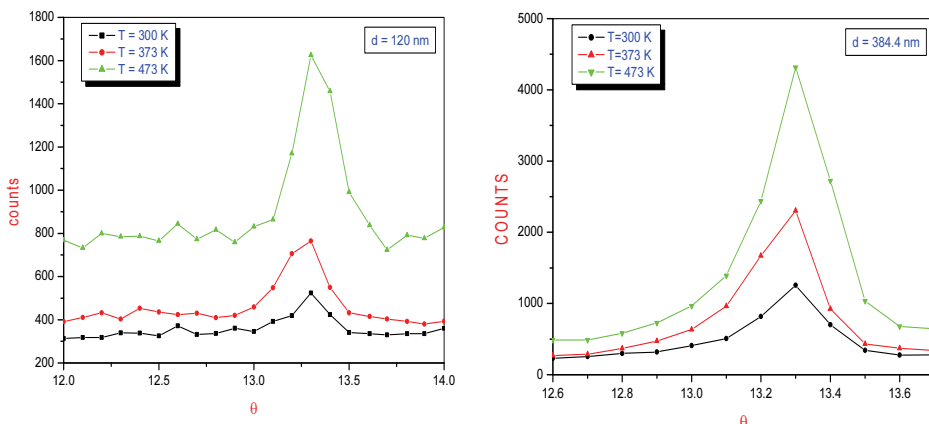
أما بالنسبة للأغشية الرقيقة فقد أظهرت نتائج طيف حيود الأشعة السينية إنها في حالة بلورية ويزداد درجة التبلور بالتلدين. وشكل (٢) يوضح نماذج هدب

الحيود عن غشاء رقيق من سيلينيد الرصاص بسمك قدره ٣٨٤,٤ نانومتر، قبل تلدينه (عند درجة حرارة الغرفة) وبعد التلدين لمدة ساعتين.



شكل ٢. أنماط قمم الحيود للأشعة السينية لغشاء رقيق ذي السمك ٣٨٤,٤ نانومتر من سيلينيد الرصاص قبل وبعد التلدين.

في جو مفرغ 10^{-1} تور عند درجة حرارة ٣٧٣ كلفن ودرجة حرارة $T = 473$ K ويتبين أنه عند تلدين الأغشية الرقيقة من سيلينيد الرصاص، فإنها تظهر نفس الطور البلوري التي تظهر في الحالة البلورية (متعددة التبلور) للمسحوق و بطور واحد في نظام مكعبى وثبتات لشبكة البلورية $a = 6.1213 \text{ \AA}$ الشكل ٣ لغشائين رقيقين لهما السمك ١٢٠,٥ و ٣٨٤,٤ نانومتر أن درجة التبلور تزداد بزيادة كل من درجة الحرارة والسمك، وهذه النتائج تتفق تماماً مع البحث [٢٢].



الشكل ٣. يوضح ازدياد درجة التبلور مع درجة الحرارة والسمك لغشائين رقيقين لهما السمك ١٢٠,٥ و ٣٨٤,٤ نانومتر.

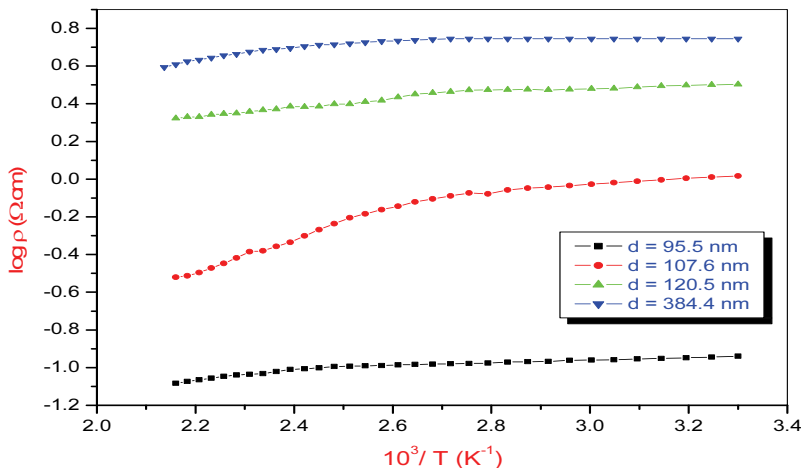
دراسة الخصائص الكهربائية للأغشية الرقيقة من سيلينيد الرصاص PbSe والمحضرة بالتبخير الحراري المعتمد على حاملات زجاجية أمورفية مستوية وبالإلكترودين من الذهب مرسيبين بالتبخير الحراري المعتمد على طرفي العينة.

استخدم لهذه الدراسة عدد من العينات مختلفة السمك وتم اختيار العينات بالسمك ٩٥,٥ - ١٠٧,٦ - ١٢٠,٥ - ٣٨٤,٤ نانومتر على الترتيب، وبالنسبة لدراسة علاقة المقاومة النوعية الكهربائية ρ بدرجة الحرارة المطلقة T للعينات، فقد تم قياس المقاومة النوعية الكهربائية ρ للأغشية الرقيقة سابقة الذكر بطريقة

المجسین وفي محیط مظلم عند درجات حرارة مختلفة. ويوضح الشکل ٤ العلاقة بين $\log \rho$ و مقلوب درجة الحرارة المطلقة $T/1000$ للأغشیة الرقيقة.

ويتضح من الشکل أن العلاقة خطية مما يعني أن سلوك المادة هو السلوك الطبيعي لأشباه الموصلات، كما يتضح من الأشكال وجود خطين مستقيمين مختلفين في الميل لكل سماكة، وهذا يعني وجود قيمتين لطاقة التنشيط الحراري Thermal Activation Energy كلفن، التي يمكن تطبيق معادلة أرهینیس على الصورة^[٢٣]:

$$\rho_T = \rho_0 \exp[(\Delta E_1 + \Delta E_2)/k_B T] \quad (1)$$



شكل ٤. العلاقة بين $\log \rho$ كدالة في $T/1000$ للأغشیة الرقيقة مختلفة السماک.

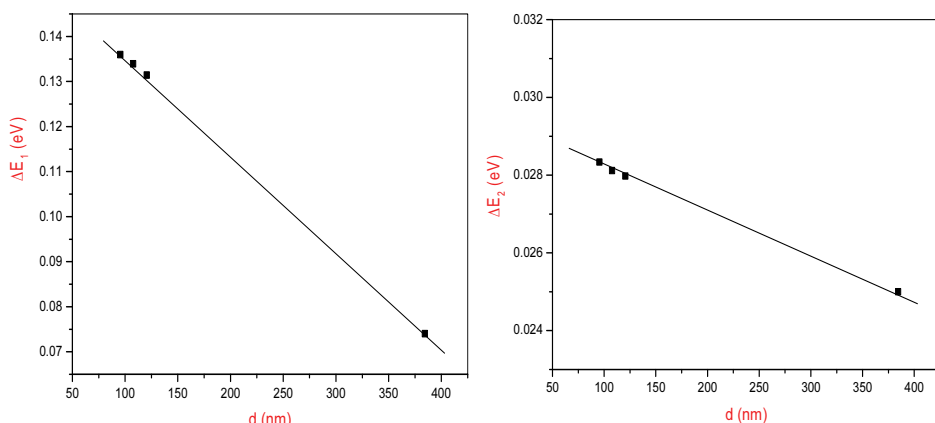
حيث: ρ_T المقاومة النوعية الكهربائية للغشاء الرقيق عند درجة حرارة T . ρ_0 العامل الذي يسبق الدالة الأسية ويعتمد على استطارة الفوتونات. k_B ثابت بولتزمان. ΔE_1 و ΔE_2 طاقتی التنشيط الحراريین الأولى في مدى درجات الحرارة العالية والتي تشير إلى التوصیل بالآلية التوصیل الذاتي والثانیة في مدى درجات الحرارة المنخفضة، وتشیر إلى آلية التوصیل غير ذاتی. ويمكن استنتاج فیمتي

ΔE_1 ، ΔE_2 بوحدة الإلكترون فولت من الميل للجزئين المستقيمين للعلاقة السابقة. وكذلك يمكن تعين قيمة طاقة الفجوة (E_g) Energy Gap. حيث تعطى من علاقة المقاومة النوعية الكهربائية للأغشية الرقيقة كدالة في درجة الحرارة لآلية التوصيل الذاتي على الصورة [٢٣] :

$$\rho = \rho e^{E_g / 2k_B T} \quad (2)$$

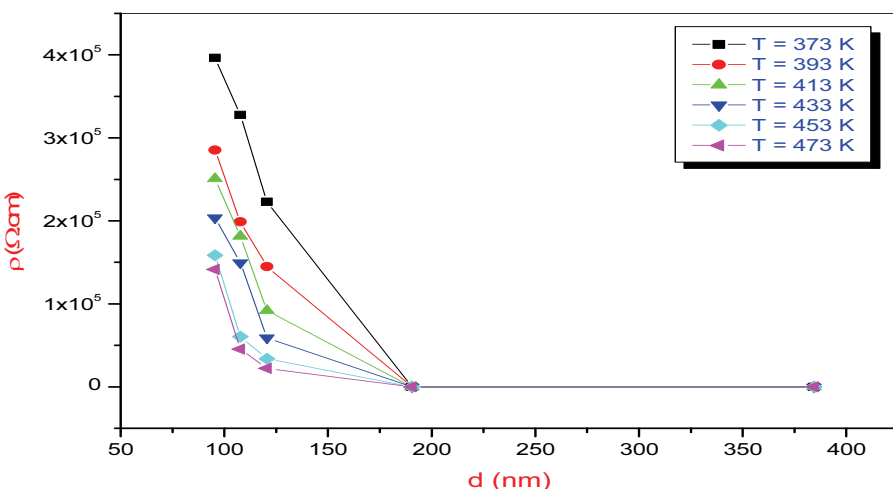
حيث: E_g فجوة الطاقة gap، حيث العلاقة بين طاقة التنشيط للتوصيل الذاتي ΔE_1 وطاقة الفجوة $E_g = 2\Delta E_1$ ، وهي تعطي فجوة الطاقة للأغشية الرقيقة. ومنها أمكن إيجاد فجوة الطاقة الكهربائية E_g والتي تساوي ضعف طاقة التنشيط الحراري، والتي لها القيمتين $E_{g1} = 0.237 \text{ eV}$

والشكل (٥) يوضح علاقة طاقتى التنشيط الحراري مع تغير السمك، ويلاحظ من تلك النتائج أن قيم طاقتى التنشيط تتناقص مع زيادة سمك الأغشية، وهذا هو السلوك الطبيعي للأغشية الرقيقة من أشباه الموصلات مع تزايد السمك، حيث زيادة السمك يؤدي إلى اتصال أجزاء الشبكة البلورية في مراحل الإنماء المتأخرة، مما يؤدي لنقص الطاقة اللازمة لتنشيط الإلكترونات المتحركة عبر الشبكة البلورية.



شكل ٥. يوضح العلاقة بين طاقة التنشيط الحراري ΔE_1 و ΔE_2 مع سمك الأغشية الرقيقة d .

ويوضح الشكل (٦) علاقة المقاومة النوعية الكهربائية (σ) مع سماك العينات (d) ويتبين من الشكل تناقص قيمة المقاومة النوعية الكهربائية بزيادة سماك الأغشية الرقيقة، حتى تثبت عند قيمة السمك العالي حوالي ٣٨٤،٤ نانومتر. وهذا السلوك لتناقص المقاومة النوعية الكهربائية مع تزايد سمك الأغشية، واستقرار المقاومة النوعية الكهربائية للحالة الحجمية، يمكن إرجاعه إلى العمليات الأولية للإنماء في الأغشية الرقيقة، حيث في مراحل السمك الصغير يكون التركيب منفصلاً على هيئة جزر وله مقاومة عالية جداً، ومع تزايد السمك يتصل التركيب وتقل العيوب في التركيب البلوري وتزيد درجة التبلور وتحسن توجيه البلورات ويتزايد الحجم الحبيبي للتبلورات Grain Size وهذه الحقيقة اتضحت في الشكل (٣)، وهذا العامل الأخير يلعب دوراً كبيراً في نقص المقاومة الكهربائية مع زيادة السمك.



شكل ٦. يوضح العلاقة بين المقاومة النوعية الكهربائية σ كدالة في سمك الأغشية الرقيقة d عند درجات حرارة مختلفة.

المناقشة والمستخلصات

- ١- أوضحت نماذج هدب الحبيود بالأشعة السينية عن مسحوق سيليسييد الرصاص PbSe أنه متعدد التبلور polycrystalline في النظام المكعبى وبنبات للشبكة البلورية: $a = 6.1223 \text{ \AA}$
- ٢- أوضحت نماذج هدب الحبيود بالأشعة السينية عن الأغشية الرقيقة من سيليسييد الرصاص PbSe والمحضرة بتقنية التبخير الحراري المعتمد في جو مفرغ على حامل من الزجاج الأمورفي، والمقاسة في درجة حرارة الغرفة أن المادة متبلورة في النظام المكعبى.
- ٣- بعد تلدين هذه الأغشية الرقيقة من سيليسييد الرصاص PbSe عند درجة حرارة ٣٧٣ و ٤٧٣ كلفن ولمدة ساعتين يتضح أن درجة التبلور تزداد.
- ٤- أوضحت قياسات المقاومة النوعية الكهربائية ρ في حالة الإظام، اعتمادها على سمك الأغشية الرقيقة، حيث تتناقص المقاومة النوعية ρ بزيادة السمك في مدى للسمك ٤,٣٨٤-٥,٩٥ نانومتر.
- ٥- دراسة المقاومة النوعية الكهربائية ρ كدالة في مقلوب درجة الحرارة العينات، وقد أعطت خطين مستقيمين مختلفين في الميل، وهذا هو السلوك الطبيعي لأشباه الموصلات، ومن ميل هذه الخطوط المستقيمة، أمكن استنتاج طاقتى التشيط الحراري $\Delta E_1, \Delta E_2$ ، وهذا مما يدل على أن هناك آليتين للتوصيل إحداهمما ذاتية والأخرى غير ذاتية.

References

- [1] Gobrecht, H. Light and Richter, A., *J. Phys. Chem.. of Solids* **26**(12): 1889 (1965).
- [2] Boichot, S.J., *Phys. J. D:Appl. Phys.* **11**: 2553 (1978).
- [3] Hudsen, R.D., " Infrared System Engineering", Wiley Inter Science, New York (1969).

- [4] Melngailis, I., Mooradian, A., Jacobs, S., Sargent, M., Scully, M. and Scott, J., "Laser Application to Optics and Spectroscopy", Addison Wesly, Reading, Mater. Appl. 533 (1975).
- [5] Baddiley, C.J. and Ring, J., *Infrared Phys.* **17**: 405 (1977).
- [6] Harris, R.E., *Laser Focus Electro-Opt. Mag.* **19**: 87 (1983).
- [7] Johanson, T.H., *Proc. SPIE, Int. Soc. Opt. Eng.* **60**: 443 (1984).
- [8] Nair, P.K. and Nair, M.T., *Phys. J. D: Appl. Phys.* **23**: 150 (1990).
- [9] Sedeek, K., Adama, A., Wahab, L.A. and Hafez, F.M., *Mater. Chem. Phys.* **20**: 85 (2004).
- [10] Kale, R.B., Sartale, S.D., Ganesan, V., Lokhande, C.D., Yi-Feng, Lin and Shih-Yuan, Lu, *Applied Surface Science*, **253**: 930 (2006).
- [11] Nairn G. and Bawendi, M.G., *Phys. Rev. B* **76**: 081304(R) (2007).
- [12] Sung Jin Kim, Won Jin Kim, Yudhisthira Sahoo, Alexander, N., Cartwright and Paras, N. Parasad, *Appl. Phys. Lett.* **92**: 031107 (2008).
- [13] Das, V.D. and Bhat, K.S., *Mater. J. Sci.* **1**: 169 (1990).
- [14] Nasu, H., Kubodera, K., Kobayashi, M., Nakamura, M. and Kamiya, K., *Am. J. Chem. Soc.* **73**: 424 (1990).
- [15] Vogel, E.M., Weber, M.J. and Krol, D.M., *Phys. Chem. Glasses*, **32**: 231 (1991).
- [16] Asobe, M., *Opt. Fiber Technol.* **3**: 142 (1997).
- [17] Liu, Q.M., Gan, F.X., Zhao, X.J., Tanaka, K., Narazaki, A. and Hirao, K., *Opt. Lett.* **26**: 1347 (2001).
- [18] Zakery, A., Elliott, S.R. and Non, J., *Cryst. Solids*, **1**: 330 (2003).
- [19] Das Damodara and Seetharama Bhat, *Journal of Materials Science, Materials in Electronics*, **1**(4): 245 (1990).
- [20] Ujjal, Gautam K. and Seshadri, R., *Materials Research Bulletin* **39**: 669 (2004).
- [21] Schaller, R. and Klimov, V., *Phys. Rev. Lett.* **92**: 186601 (2004).
- [22] Schopper, H., *Physik*. **131**: 215 (1952).

Study of some Structural and Transport Electrical Properties of Lead Selenide (PbSe) Thin Films

F. S. Alhazmi, F.S. Bahabri¹, R.H.Orainy¹ and M. H. Alattas¹

*Physics Department, Faculty of Science and Physics Department,
Science College for Girls, King Abdul Aziz University- KSA*

Abstract: In this paper, the crystal structural and electrical transport properties of Lead Selenide thin films Were studied. For this purpose, high purity PbSe is thermally evaporated from molybdenum boat in vacuum of 10^{-6} Torr, onto glass substrates for structural and electrical transport measurements. X-ray diffraction patterns of powder PbSe showed polycrystalline structure of Cubic phase with lattice constants of: $a = 6.1223 \text{ \AA}$. X-ray diffraction patterns of PbSe thin films showed the crystal structure of Cubic system. It was found that annealing increases the degree of crystallinity. The transport electrical properties such as electrical resistivity ρ was studied for deposited films of different thicknesses. It was found that for PbSe films the electrical conductivity is strongly affected by sample temperature, heat treatment and film thickness. PbSe films showed semi conducting behaviour. The dependence of electrical resistivity on film thickness showed that the electrical resistivity decreases as the film thickness increases. The activation energy ΔE_1 , ΔE_2 of the free charge for PbSe samples was calculated using the electrical resistivity data at different temperatures for different thickness and was found to decrease as the film thicknesses increases.